

川田工業(株) 正員 ○高田 嘉秀  
大阪大学 正員 堀川 浩甫

### 1. 研究の目的

本研究は疲労亀裂発生寿命  $N_{\text{f}}$  におよぼす溶接残留応力の影響を実験的に明らかにし、溶接構造物の疲労についての基礎的資料を得ることを目的とする。すなわち、試験片溶接後、応力除去することで 4 段階の溶接残留応力を有する試験片を用意し、各々の疲労亀裂発生寿命の違いを検討したものである。

### 2. 実験方法

2.1 供試材 供試材は一般構造用圧延鋼材 SS41 で、ミルシートによる機械的性質と化学成分を表-1 に示す。

2.2 試験片の種類 試験片のパラメータとして溶接引張残留応力だけに着目し、形状寸法などの他の影響因子はすべての試験片において同一であるものとした。したがって、試験片は以下の 4 種類である。

- ① 溶接のままの試験片 (As Weld)
- ② 溶接後、380°C で SR した試験片 (380SR)
- ③ 溶接後、500°C で SR した試験片 (500SR)
- ④ 溶接後、620°C で SR した試験片 (620SR)

2.3 試験片の製作 試験片の寸法は疲労試験機の能力などから図-1 のように決定した。溶接はマイクロサブマージアーケ溶接法でビートオンプレートにて行った。溶接条件を表-2 に示す。また、応力集中源としてすべての試験片に  $1.5\phi$  の中央貫通の丸孔を SR 終了後、残留応力測定前に設けた。これは本州四国連絡橋公団のブローホールの許容寸法に準じたものである。

2.4 溶接残留応力の低減 溶接終了後、エレマー炉により応力除去焼なまし (Stress Relief Annealing; SR) を行った。温度管理には試験片表面に取付けた C-A 熱電対を用いた。また、試験片全体の温度を一様に所要の加熱温度に上昇させるための昇温時間を 15 時間、加熱温度に保持する時間を 1 時間とし炉中の温度が 100 °C になってから試験片を炉外へ取出した。

2.5 各試験片の溶接残留応力 残留応力は溶接線方向に着目し、ひずみゲージを用いて切断法にて測定した。測定結果を図-2 に示す。

ビード上での残留応力は As Weld, 380SR, 500SR では引張応力で、その値は各々、 $4.5 \text{ kg/mm}^2$ ,  $2.3 \text{ kg/mm}^2$ ,  $1.0 \text{ kg/mm}^2$  である。溶接に用いたワイヤーの公称引張破断強度が  $50 \text{ kg/mm}^2$  であることから、As Weld (溶接のまま) での引張残留応力  $4.5 \text{ kg/mm}^2$  は妥当な値と思われる。また、620SR では残留応力は完全に除去されていると推定されるのにビード上で  $2.5 \text{ kg/mm}^2$  の圧縮応力が測定されているのは測定誤差によるものと考える。

2.6 疲労試験 疲労試験は 3 点曲げ負荷による荷重制御片振条件で応力比 0.1, 周波数 20 Hz で行った。

表-1 機械的性質および化学成分

Material	Yield Stress (kg/mm <sup>2</sup> )	Tensile Stress (kg/mm <sup>2</sup> )	Elongation (%)
SS41	29	45	32

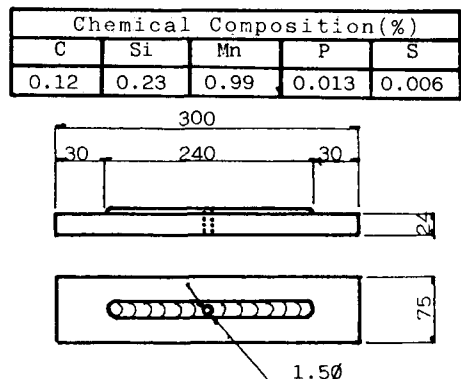


図-1 試験片

表-2 溶接条件

Wire	Y-CS50, 1.6dia
Flux	NF16
Current	270 (A)
Voltage	30 (V)
Speed	52 (cm/min)
Heat Input	9300 (J/cm)

2.7 亀裂発生寿命 $N_c$ の測定 寿命はマクロ的(工学的)に亀裂発生寿命 $N_c$ と亀裂伝播寿命 $N_p$ に区別して測定した。すなわち、 $N_c$ は亀裂発生位置に対して0.1mm以内に貼付けた抵抗線が発生した亀裂によって切斷された時点とした。同様に $N_p$ も最終破断位置に抵抗線を貼付けて検出した。尚、亀裂発生位置は応力集中源の丸孔表面縁であることをあらかじめ二段多重応力範囲試験を用いて確認しておいた。

### 3. 実験結果および考察

実験結果を図-3に示す。本図は破断寿命 $N_f$ を亀裂発生寿命 $N_c$ と亀裂伝播寿命 $N_p$ に区別して各作用応力範囲ごとに示したものである。この図の中で $N_f$ は最終破断までの寿命、 $N_c$ は亀裂発生までの寿命を示し、 $N_f$ と $N_c$ の差が亀裂伝播寿命 $N_p$ である。対数表示をしているため $N_f$ 、 $N_c$ 、 $N_p$ の比較が困難となるので $N_f$  ( $N_c + N_p$ )のとなりに $N_p$ を再掲した。本図から $N_f$ は引張残留応力が小さくなるほど増加していることがわかる。次に $N_f$ を $N_c$ と $N_p$ に区別してみる。 $N_c$ も $N_f$ とともに引張残留応力が小さくなるほど増加している。また、その傾向は作用応力範囲が小さくなるほど顕著となっている。一方、 $N_p$ は $N_c$ ほど引張残留応力と作用応力範囲の影響を受けていない。すなわち、 $N_c$ は作用応力範囲と引張残留応力の低下とともに段階的に増加しているが $N_p$ は15万回～30万回程度で作用応力範囲と引張残留応力の影響を $N_c$ ほど受けていない。また、すべての作用応力範囲において各試験片とも $N_f$ にバラツキがみられる。しかし、 $N_p$ のバラツキは小さい。これより $N_f$ のバラツキは $N_c$ のバラツキに起因し引張残留応力の増減に無関係であると考えられる。

### 4.まとめ

- ① 亀裂発生寿命 $N_c$ は溶接引張残留応力が小さくなるほど増加する。特に疲労限近くの作用応力において顕著であり、作用応力が大きくなると溶接引張残留応力の影響は小さくなる。
- ② 溶接引張残留応力が亀裂伝播寿命 $N_p$ におよぼす影響は亀裂発生寿命 $N_c$ に比べてかなり小さい。
- ③ 破断寿命 $N_f$ のバラツキは亀裂発生寿命 $N_c$ に起因し、亀裂伝播寿命 $N_p$ のバラツキは小さい。このことは溶接引張残留応力に無関係である。

本研究は高田が大阪大学溶接工学研究所において受託研究員として行ったものである。

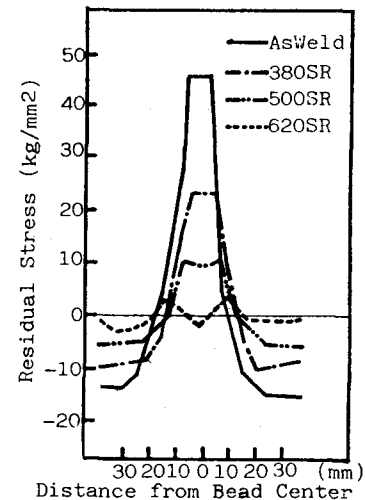


図-2 各試験片の残留応力分布

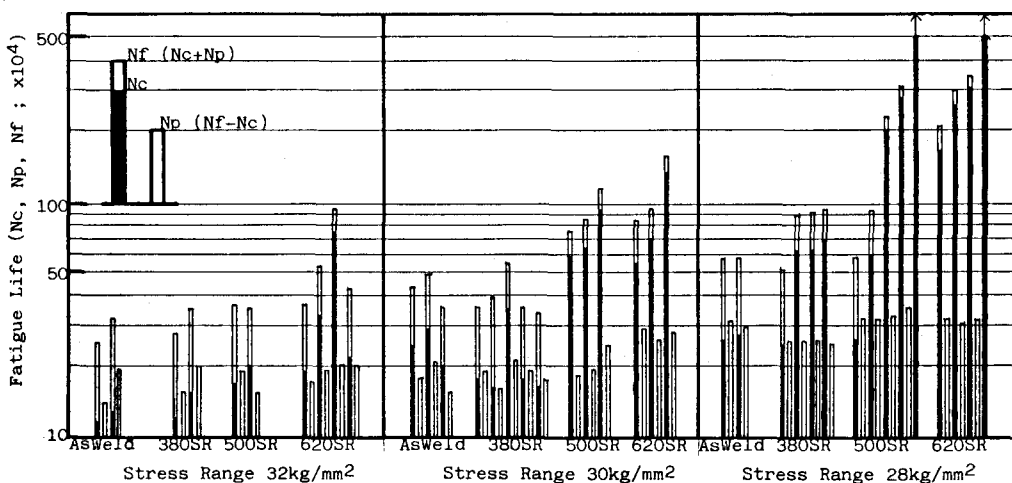


図-3 亀裂発生寿命 $N_c$ と亀裂伝播寿命 $N_p$ および破断寿命 $N_f$ の比較